

ЗОННАЯ СТРУКТУРА, ОПТИЧЕСКИЕ СВОЙСТВА И РАСПРЕДЕЛЕНИЕ ЗАРЯДА ВАЛЕНТНЫХ ЭЛЕКТРОНОВ В CdSiAs₂

Басалаев Ю. М., Золотарев М. Л., Полягалов Ю. И.,
Поплавной А. С.

По методу псевдопотенциала с учетом спин-орбитального взаимодействия для CdSiAs₂ вычислены энергетическая зонная структура, вероятности зона-зонных переходов для параллельной и перпендикулярной ориентаций электрического вектора световой волны относительно оптической оси кристалла, а также распределение заряда валентных электронов в плоскости (110). На основе расчета дана интерпретация поляризованных спектров отражения, электроотражения и ФЭДС. Вычисленные карты электронной плотности показывают, что химическая связь в CdSiAs₂ имеет смешанный ионно-ковалентный характер. Максимумы зарядов на связях смещены вдоль связи по направлению к аниону, а также в сторону от направления связей. Смещение в сторону от направления связей таково, что максимумы зарядов на связях занимают положения, близкие к неискаженным тетраэдрическим. Вычислены также карты электронной плотности для отдельных связок валентных зон, что позволило установить энергетическое положение s- и p-атомных орбиталей аниона и катионов.

CdSiAs₂ является наиболее широкозонным из тройных арсенидов и имеет на краю поглощения прямой разрешенный переход. В [1] исследованы спектры излучательной рекомбинации этого полупроводника. Максимум, полученный при энергии 1.618 эВ (80 К), авторы связывают с шириной запрещенной зоны E_g . В [2] из анализа края поглощения при комнатной температуре для CdSiAs₂ получено значение $E_g = 1.52$ эВ. Фотопроводимость кристаллов p-CdSiAs₂ исследовалась в [3], где для комнатной температуры по правилу Мосса определена ширина запрещенной зоны $E_g = (1.53 \pm 0.02)$ эВ.

Сложная структура вершины валентной зоны установлена методами электроотражения [4, 5]; в спектрах электроотражения при $T=300$ К наблюдаются три пика A, B, C с характерной поляризационной зависимостью соответственно при энергиях 1.55, 1.74, 1.99 эВ. Из энергий этих пиков вычислены параметры кристаллического расщепления $\Delta_{kp} = 0.24$ эВ и спин-орбитального расщепления $\Delta_{co} = 0.29$ эВ вершины валентной зоны. В работе [6] в области расположения пиков A, B, C исследовались спектры электроотражения сплавов Zn_{1-x}Cd_xSiAs₂. При $x=1$ получены результаты, аналогичные [4, 5]. Результаты, полученные методами электроотражения, нашли подтверждение при исследовании спектров фотопроводимости специально не легированных ориентированных кристаллов CdSiAs₂ при 300 К в поляризованном свете [7].

Измерения вольтамперных характеристик и спектров фотоэдс диффузионных гомодиодов на основе CdSiAs₂ с плоскостью $p-n$ -перехода, параллельной оптической оси кристалла c, выполнены в [8]. В спектрах фоточувствительности при 300 К наблюдается четкий максимум энергии $E_g = 1.55$ эВ, соответствующий пику A электроотражения. Имеются также изломы на энергиях 1.74 (пик B) и 2.0 эВ (пик C).

В [9] по исследованию термоэдс на образцах CdSiAs₂ с концентрацией дырок $p = 5 \cdot 10^{16}$ см⁻³ при 300 К определена эффективная масса плотности состояний дырок $m_p = 0.2 m_0$, расчет которой проводился в модели простой параболической зоны.

Теоретические расчеты зонной структуры, проведенные в [10], хорошо согласуются с приведенными выше экспериментальными результатами: $E_g = 1.66$ эВ, $\Delta_{kp} = 0.29$ эВ. Однако эти расчеты не учитывали спин-орбитального взаимодействия, которое, как и в случае других соединений $A''B^{IV}C_2^V$, содержащих тяжелые элементы, оказывается существенным и качественно меняет энергетический спектр [11]. Оценка $\Delta_{co} = 0.33$ эВ [12], полученная на основе диэлектрической теории, также близка к экспериментальному значению. Квазикубическая теория строения вершины валентной зоны $CdSiAs_2$ [4] приводит к завышенному результату: $\Delta_{kp} = 0.41$ эВ. Теория энергетической зонной структуры $CdSiAs_2$, в которой бы последовательно учитывались все факторы кристаллической структуры и спин-орбитальное взаимодействие, к настоящему времени отсутствует.

Мы провели расчет зонной структуры $CdSiAs_2$ с учетом спин-орбитального взаимодействия по методу эмпирического псевдопотенциала, описанному в [11]. Единственный свободный параметр λ_0 этого метода, обусловленный перенормировкой атомных волновых функций в кристалле, определялся по экспериментальному значению спин-орбитального расщепления в центре зоны Бриллюэна и оказался равным $3 \cdot 10^{-3}$ Ry. Псевдопотенциал Cd (с соответствующей перенормировкой на объем элементарной ячейки халькопирита) брался из CdTe, псевдопотенциал Si — из расчетов для кристаллического кремния, псевдопотенциал As — из расчетов InAs [13]. Вычисленная энергетическая зонная структура приведена на рис. 1 и имеет характерный для прямозонных халькопири-

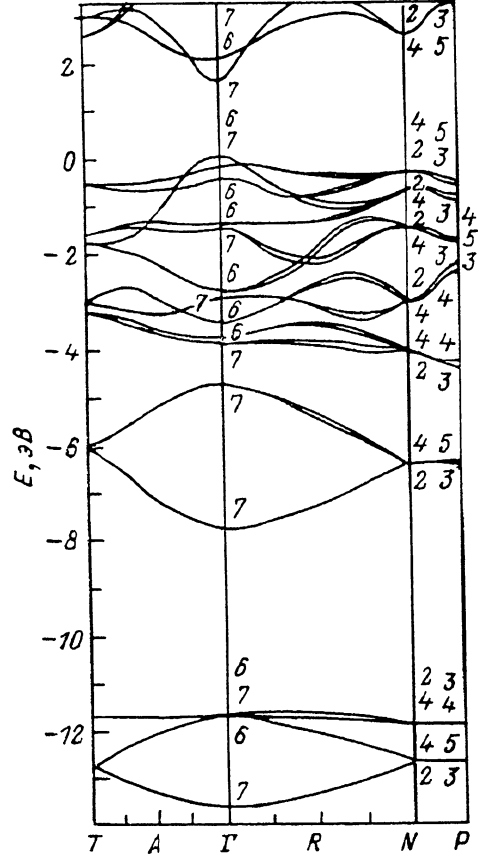


Рис. 1. Зонная структура $CdSiAs_2$.

Цифрами обозначены неприводимые представления пространственных групп в соответствующих симметрических точках зоны Бриллюэна халькопирита [15]. Для точки N : 2 — N_{++} , 4 — N_{+-} . Точке T отвечают представления T_{++} .

тов типа $A''B^{IV}C_2^V$ вид, приведенный в [10]. Вычисленные величины $E_g = 1.42$ эВ, $\Delta_{kp} = 0.24$ эВ и $\Delta_{co} = 0.23$ эВ хорошо согласуются с имеющимися экспериментальными данными.

В таблице представлены полученные экспериментально пики отражения [14, 15] и электроотражения [4, 5] для $CdSiAs_2$ вместе с вычисленными нами прямыми переходами из валентной зоны в зону проводимости ΔE_{sc} (в эВ) в области энергий до 4 эВ. Там же приведены вычисленные вероятности переходов для перпендикулярной (P_\perp) и параллельной (P_\parallel) ориентаций электрического вектора световой волны относительно оптической оси кристалла. Из таблицы видно, что теоретически найденные пики A , B , C , характеризующие строение вершины валентной зоны $CdSiAs_2$, определяются однозначно и по своим поляризационным свойствам полностью соответствуют эксперименту. Проводя дальнейшую интерпретацию расчетных и полученных экспериментально зонных переходов, следует отметить, что, согласно расчету, пики E_1 , E_2 , E_3 , E_5 с преобладающей вероятностью должны наблюдаться при продольной поляризации, в то время как E_4 — только при $E \perp c$. Пик E_5 должен также проявляться при перпендикулярной поляризации, но с гораздо меньшей интенсивностью. С точки зрения привязки переходов к конкретным точкам симметрии пики E_1

и E_2 , согласно расчету, могут быть объяснены переходами в точке N . Пик E_3 отвечает переходам в точке T . Пики E_4 соответствуют переходам в точках N , G , T . Однако преобладающими здесь должны быть переходы в точке N . Пику

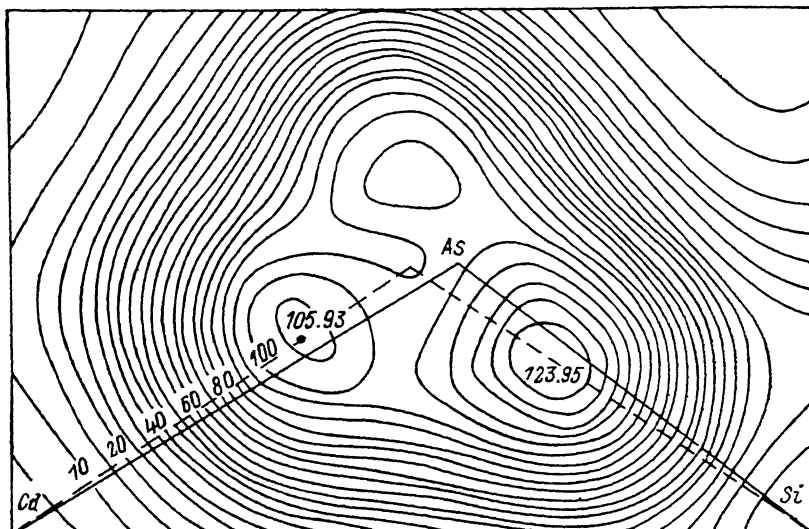


Рис. 2. Распределение заряда валентных электронов в плоскости (110) для CdSiAs_2 (в ед. e/Ω , где Ω — объем элементарной ячейки).

Штрихами показано положение связей в «идеальном», недеформированном кристалле.

E_5 при $E \parallel c$ отвечают малоинтенсивные переходы в точке P . При $E \parallel c$ в него будут давать вклад переходы в точках P и N с преобладающей вероятностью для точки N . Как видно, проведенный расчет дает хорошее согласие с экспери-

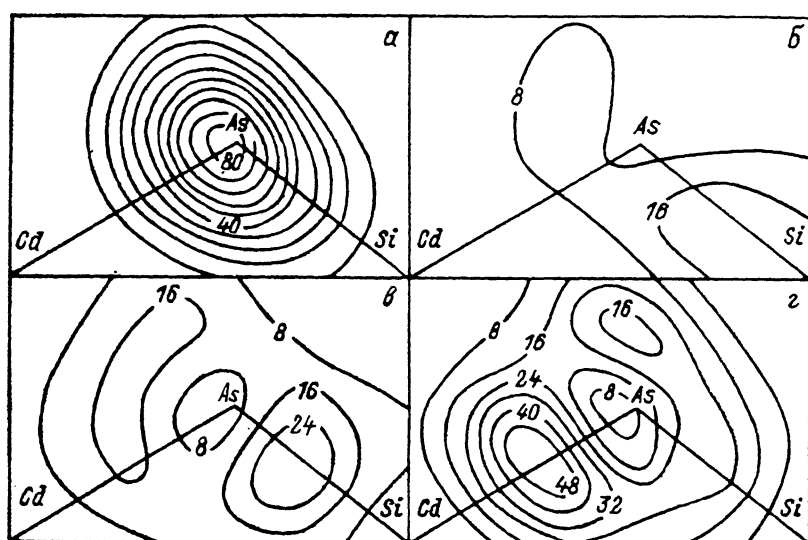


Рис. 3. Распределение заряда валентных электронов по связкам зон в плоскости (110) для CdSiAs_2 (в ед. e/Ω).

ментом, позволяет провести интерпретацию оптических спектров и установить, за счет каких переходов образуются наблюдаемые в эксперименте пики.

Расчет распределения электронной плотности заряда валентных электронов ρ (Γ) проводился с использованием 164 плоских волн в разложении псевдоволновой функции, а для интегрирования по всем состояниям использовалась

Экспериментальные значения энергий пиков отражения и электроотражения,
теоретически вычисленные значения энергий (в эВ) и вероятностей
прямых зона-зонных переходов* для CdSiAs₂

Номер	Эксперимент		Теория				
	отражение [^{14, 15}]	электроотражение		переход	$E_{\text{рас}}$	P_{\perp}	P_{\parallel}
		[eV]	[eV]				
A		1.55	1.55	$\Gamma_6 \rightarrow \Gamma_7$	1.42	0.004	0.253
B		1.74	1.74	$\Gamma_7 \rightarrow \Gamma_7$	1.66	0.069	0.000
C		1.99	1.99	$\Gamma_6 \rightarrow \Gamma_7$	1.89	0.064	0.015
E_1	2.6	2.50	2.53	$N_{4+5} \rightarrow N_{4+5}$	2.81	0.001	0.083
E_2	2.6			$N_{2+3} \rightarrow N_{2+3}$	2.81	0.001	0.083
E_3	2.7	2.99	—	$T_{6+7} \rightarrow T_{6+7}$	2.92	0.000	0.105
E_4	3.3	3.10	3.05	$T_{6+7} \rightarrow T_{6+7}$	2.93	0.000	0.106
				$N_{2+3} \rightarrow N_{4+5}$	3.16	0.113	0.000
				$N_{4+5} \rightarrow N_{4+5}$	3.16	0.113	0.000
				$\Gamma_6 \rightarrow \Gamma_6$	3.20	0.024	0.000
				$T_{6+7} \rightarrow T_{6+7}$	3.24	0.011	0.000
				$\Gamma_6 \rightarrow \Gamma_6$	3.27	0.022	0.000
				$T_{6+7} \rightarrow T_{6+7}$	3.27	0.011	0.000
E_5	3.7	—	3.82	$P_3 \rightarrow P_5$	3.58	0.025	0.000
				$P_5 \rightarrow P_3$	3.58	0.020	0.000
				$P_4 \rightarrow P_5$	3.69	0.000	0.016
				$P_6 \rightarrow P_7$	3.69	0.000	0.018
				$N_{4+5} \rightarrow N_{4+5}$	3.89	0.001	0.080
				$N_{2+3} \rightarrow N_{2+3}$	3.89	0.001	0.080

Примечание. * Квадраты модулей оптических матричных элементов (в ат. ед.).

одна специальная точка ($\pi/2a$, $\pi/2a$, π/c) (a и c — постоянные решетки). Результаты расчетов представлены в виде карт электронной плотности для плоскости (110), где лежат атомы всех сортов, образующих кристалл (рис. 2, 3). Как видно из рисунков, распределение заряда валентных электронов в CdSiAs₂ имеет типичный для подобных соединений вид [^{16, 17}]. Над большим фоном заряда на анионе и несколько меньшем на катионах хорошо видны локализованные замкнутые контуры, что свидетельствует о наличии ковалентной составляющей химической связи в данном полупроводнике. О наличии ионной составляющей свидетельствуют различные заряды на анионе и катионах, а также смещение зарядов на связях в сторону аниона от центра связи. Таким образом, связь в CdSiAs₂ носит смешанный ионно-ковалентный характер. Установлено также, что максимумы зарядов на связях (обозначенные на рис. 2 точками) смещены не только по направлению к аниону от центров связей, но и в сторону от самих связей. Данное смещение для CdSiAs₂ оказывается несколько большим для связи Si—As, чем для связи Cd—As, и коррелирует со смещением аниона в кристалле из идеального положения. Расчет ρ (г) с учетом и без учета смещения показал, что электронное облако на связи слабо реагирует на это смещение и стремится занять положение, близкое к расположению, отвечающему «идеальному» недеформированному кристаллу с правильным тетраэдralным расположением составляющих его элементов.

На рис. 3 представлено отдельно для каждой связи распределение заряда, которое можно выделить в валентной зоне (рис. 1) в плоскости (110) для CdSiAs₂. Как видно из рис. 3, а, заряд нижней связи из четырех зон локализован в основном на анионе и имеет вид, характерный для распределения s -электронов. Следующая связь из двух зон (рис. 3, б) в основном построена из s -состояний Si, но со значительной примесью p -состояний As. Третья связь из четырех зон (рис. 3, в) соответствует p -состояниям атомов Si и As, которые формируют связь Si—As. Верхней связке из шести зон (рис. 3, г) отвечают в основном p -состояния атомов Cd и As, которые формируют связь Cd—As.

Список литературы

- [1] Борщевский А. С., Валов Ю. А., Горюнова Н. А. и др. // ФТП. 1968. Т. 2. В. 9. С. 1367—1369.
- [2] Bendorius R., Prochukhan V. D., Shileika A. // Phys. St. Sol. (b). 1972. V. 53. N 2. P. 745—752.
- [3] Колчанова Н. М., Прочухан В. Д., Рудь Ю. В., Сергинов М. // Изв. АН ТуркмССР. Сер. физ.-тех., хим. и геол. наук. 1973. № 1. С. 108—110.
- [4] Shileika A. // Surf. Sci. 1973. V. 37. N 3. P. 730—747.
- [5] Shay J. L., Buehler E. // Phys. Rev. B. 1971. V. 3. N 8. P. 2598.
- [6] Joullie A. M., Alibert C., Gallay J., Deschanvres A. // Sol. St. Commun. 1976. V. 19. N 4. P. 369—372.
- [7] Лебедев А. А., Оvezov K., Прочухан В. Д., Рудь Ю. В., Сергинов М. // Письма ЖЭТФ. 1976. Т. 2. В. 9. С. 385—390.
- [8] Довлатмурадов Ч., Оvezов K., Прочухан В. Д., Рудь Ю. В., Сергинов М. // ФТП. 1976. Т. 10. В. 9. С. 1659—1663.
- [9] Сергинов М., Рудь Ю. В., Прочухан В. Д., Скрипин Б. А. // Изв. АН ТуркмССР. Сер. физ.-тех., хим. и геол. наук. 1974. № 3. С. 105—107.
- [10] Поплавной А. С., Полягалов Ю. И., Чалдышев В. А. // Изв. вузов СССР. Физика. 1970. № 7. С. 17—22.
- [11] Полягалов Ю. И., Басалаев Ю. М., Золотарев М. Л., Поплавной А. С. // Деп. в ВИНИТИ АН СССР. М., 1987. № 7351-B87.
- [12] Hübner K., Unger K. // Phys. St. Sol. (b). 1972. V. 50. N 2. P. K105—K107.
- [13] Хейне В., Козын М., Уайр Д. Теория псевдопотенциалов. М., 1973. 557 с.
- [14] Донецких В. И., Соболев В. В. // Изв. АН МССР. Физ.-тех. и мат. науки. 1973. № 1. С. 40—46.
- [15] Соболев В. В. // Изв. АН СССР. Неорг. матер. 1973. Т. 9. В. 6. С. 1060—1061.
- [16] Чалдышев В. А., Захаров Н. А., Золотарев М. Л. // Деп. в ВИНИТИ АН СССР. М., 1977. № 4284-77.
- [17] Басалаев Ю. М., Золотарев М. Л., Полягалов Ю. И., Поплавной А. С. // Деп. в ВИНИТИ АН СССР. М., 1987. № 1462-B89.
- [18] Чалдышев В. А., Покровский В. Н. // Изв. вузов СССР. Физика. 1960. № 2. С. 173—181.

Кемеровский
государственный университет

Получена 8.12.1989
Принята к печати 23.01.1990